

## 4.3 Multipolstrahlung

Ziel: Die retardierten Potentiale sollen für räumlich lokalisierte zeitabh.

Ladungs- und Stromverteilungen analog zu den statischen Multipolentwicklungen (§ 1.4, § 2.4) für  $r \gg r'$  entschieden werden.

Voraus.: Lorenz-Gleichung  $\dot{\phi} + c^2 \nabla \cdot \underline{A} = 0$

$\Rightarrow$  Ans  $\underline{A}(r, t) \rightarrow \phi(r, t), \underline{E}(r, t), \underline{B}(r, t)$

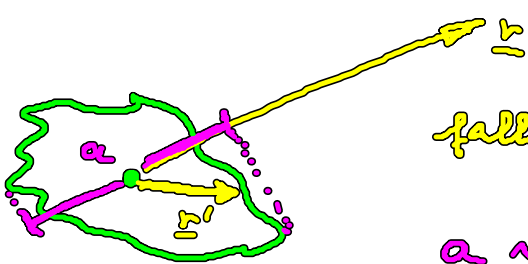
1. Näherung:  $r \gg a$  (Ausdehnung der Quelle)

$$\text{Mit } \frac{1}{|r - r'|} = \frac{1}{r} + \frac{1}{r^3} (r \cdot r') + \dots$$



$$\underline{A}(r, t) \approx \frac{q_0}{4\pi r} \left( d^3 r' j(r', t - \frac{|r - r'|}{c}) + \frac{1}{4\pi r^3} \int d^3 r' (r \cdot r') j(r', t - \frac{|r - r'|}{c}) \right)$$

$$\underline{2. Näherung}$$
:  $t - \frac{|r - r'|}{c} \approx \underbrace{t - \frac{r}{c}}_{\text{zeitliche Verschiebung}} + \frac{r \cdot r'}{cr} + \dots$



$\approx t$

falls  $\Sigma \rightarrow \frac{d\tau'}{cr} \sim \frac{a}{c}$  (relative Retard.  
der einzelnen  
Punkte der Quelle)

$a \sim$  Ausdehnung der Quelle

$\tau \sim$  charakt. Zeit für Änderung von  $j$

(z.B.: harmon. Erregung  $j \sim e^{i\omega t}$ :

$$\tau = \frac{2\pi}{\omega} = \frac{2\pi}{ck} = \frac{\lambda}{c}$$

$$\Rightarrow \boxed{a \ll \lambda} \quad \underline{\text{Wellenlänge}}$$

$$\Rightarrow \underline{j}(r', t - \frac{|r-r'|}{c}) \approx j(r', t - \frac{\tau}{c}) + \frac{d\tau'}{cr} \frac{\partial j(r', \tau)}{\partial \tau}$$

$$\Rightarrow \boxed{A(r, t) \approx \frac{\mu_0}{4\pi r} \int d\tau' j(r', \tau) + \frac{\mu_0}{4\pi r^3} \int d\tau' (r, r') \left(1 + \frac{r}{c} \frac{\partial}{\partial \tau}\right) j(r', \tau)}$$

wiedrige Ordnung (verschwindet nicht, da im Gegensatz  
zu § 2.4  $\nabla \cdot j \neq 0$ )

Mit  $\nabla_{r'} [x_k j] = x_k \nabla_{r'} j(r', \tau) + j_k$ ,  $\int d\tau' \nabla_{r'} (x_k j) = 0$   
folgt

$$\int d\tau' j(r', \tau) = \int d\tau' r' \dot{g}(r', \tau) = \dot{p}(r)$$

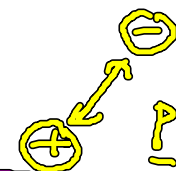
mit dem el. Dipolmoment  $p \approx \int d\tau' r' \dot{g}(r', \tau)$

$$\boxed{A^{(1)}(r, t) = \frac{\mu_0}{4\pi r} \dot{p}(t - \frac{r}{c})}$$

El. Dipolstrahlung

# Hertz'scher Dipol (H. Hertz 1857 - 1894)

$$\underline{p}(t) = \underline{p}_0 e^{-i\omega t}$$



$$\underline{\Delta}^{(1)}(z, t) \approx \frac{-i\omega \mu_0 P_0}{4\pi} \frac{e^{-i\omega(t-\frac{r}{c})}}{r} e^{i(kr - \omega t)}$$

Kugelwelle

$$\frac{\partial}{\partial t} \phi(z, t) = \frac{1}{\epsilon_0 \mu_0} \nabla \cdot \underline{\Delta} = -\frac{1}{4\pi \epsilon_0} \nabla \left\{ \frac{1}{r} \dot{\underline{p}}(t - \frac{r}{c}) \right\}$$

$$\begin{aligned} \Rightarrow \phi(z, t) &= -\frac{1}{4\pi \epsilon_0} \nabla \left\{ \frac{1}{r} \dot{\underline{p}}(t - \frac{r}{c}) \right\} + \underbrace{\phi_{\text{stat}}(z)}_{\nabla \cdot \underline{P} = \frac{\partial}{\partial r} P(r)}, \quad \circ (oBdA) \\ &= \frac{1}{4\pi \epsilon_0} \left\{ \underbrace{\frac{1}{c r^2} \dot{r} \dot{\underline{p}}(t - \frac{r}{c})}_{\sim \frac{1}{r}} + \underbrace{\frac{1}{r^3} \underline{\Sigma} \cdot \underline{P}(t - \frac{r}{c})}_{\sim \frac{1}{r^2}} \right\} \end{aligned}$$

Grenzfälle:

(i) Fernzone (Wellenzone):  $r \gg \lambda \quad (\gg a) \Leftrightarrow kr \gg 1$

$$\phi(z, t) \approx \frac{1}{4\pi \epsilon_0} \frac{1}{c r^2} r \dot{\underline{p}}(t - \frac{r}{c}) \quad \dot{\underline{p}} \sim \frac{\omega}{c} \underline{p} \Rightarrow \frac{\omega}{c} r \gg 1$$

(ii) Nahzone (quasistat. Bereich):  $\lambda \gg r \quad (\gg a) \Leftrightarrow kr \ll 1$

$$\phi(z, t) \approx \frac{1}{4\pi \epsilon_0} \frac{1}{r^3} \underline{\Sigma} \cdot \underline{P}(t) - \frac{1}{r^3} \frac{r}{c} \underline{\Sigma} \cdot \dot{\underline{p}}(t) + \frac{1}{c r^2} \underline{\Sigma} \cdot \dot{\underline{p}}(t)$$

Retardierung kompensiert  $\dot{\underline{p}}$ -Term

instantanes Dipolpot.!

## Felder in Fernfeldnäherung

$$\underline{\underline{B}}(r,t) = \nabla \times \underline{\underline{A}} = \frac{\mu_0}{4\pi} \nabla \times \left( \frac{1}{r} \hat{r} \underline{\underline{p}}(t - \frac{r}{c}) \right)$$

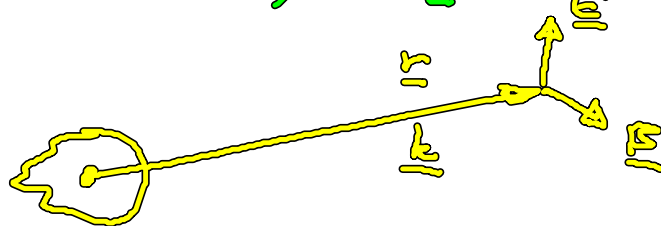
$$= \frac{\mu_0}{4\pi c} \frac{1}{r} [\dot{\underline{\underline{p}}} \underline{\underline{c}} - \underline{\underline{p}} \underline{\underline{c}}] + O\left(\frac{1}{r^2}\right)$$

$$\underline{\underline{E}}(r,t) = -\nabla \phi - \dot{\underline{\underline{A}}}(r,t) = \frac{1}{4\pi \epsilon_0 c^2} \frac{1}{r^2} [\dot{\underline{\underline{p}}} \underline{\underline{c}} \times \underline{\underline{c}}] \times \underline{\underline{c}}$$

$$+ O\left(\frac{1}{r^3}\right)$$

Ergebnis :  $\underline{B}_x(r) = \frac{1}{r} \underline{E}$

Aber



$r, E, B$  bilden  
Rechtssystem!  
 $r \perp E \perp B$

Ausbreitung wie eine freie Welle  
(nur in der Fernzone)

NB : In der Nahzone gilt immer noch  $\underline{B} \perp \underline{E}$ ,  
aber  $\underline{E}$  hat longitudinal. Komp.  $E_L \parallel r$   
wegen  $E_L \perp r$

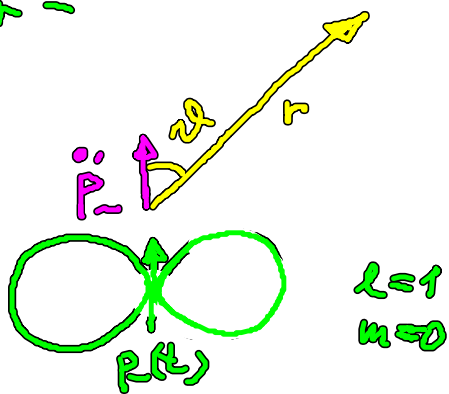
Poynting-Vektor (Energiedichte):

$$\underline{\underline{S}} = \underline{\underline{E}} \times \underline{\underline{H}} = -\frac{1}{\mu_0} \underline{\underline{B}} \times \underline{\underline{E}} = -\frac{c}{\mu_0 r} \underline{\underline{B}} \times (\underline{\underline{E}} \times \underline{\underline{c}})$$

$$= -\frac{c}{\mu_0 r} \left\{ \left( \frac{\underline{\underline{B}} \cdot \underline{\underline{c}}}{\mu_0} \right) \underline{\underline{B}} - \underline{\underline{B}}^2 \underline{\underline{c}} \right\}$$

$$= \frac{\mu_0}{(4\pi)^2 c} \frac{1}{t^4} \underbrace{\left( \ddot{\vec{P}}(t-\tau) \times \vec{n} \right)^2}_{|\ddot{\vec{P}}|^2 r^2 \sin^2 \vartheta} \frac{1}{r} \tau$$

$$\Sigma = \frac{\mu_0}{(4\pi)^2 c} |\ddot{\vec{P}}|^2 \frac{1}{r^2} \sin^2 \vartheta \frac{\tau}{r}$$



Abstrahl-Charakteristik des Hertz'schen Dipols

$(\vec{P}(t) = P_0 e^{-i\omega t} : |\ddot{\vec{P}}|^2 = P_0^2 \omega^4)$ , starkrichtungsabhängig

NB : Gute Näherung für  
lineare Antenne

